

ПРЯМОЕ ОБНАРУЖЕНИЕ ЦИРКУЛЯРНОГО ФОТОТОКА В НИОБАТЕ ЛИТИЯ

П.Г.Казанский, А.М.Прохоров, В.А.Черных

Предложен новый метод обнаружения пространственно-осциллирующего фототока. Впервые в результате прямых измерений обнаружен циркулярный фототок в ниобате лития. Экспериментально показано, что в ниобате лития компонента тензора циркулярного ФГЭ больше недиагональной компоненты тензора линейного ФГЭ β_{15}^s .

Интересным свойством кристаллов без центра симметрии является появление в них стационарного тока при однородном освещении в режиме короткозамкнутых электродов^{1, 2}. Это явление, называемое объемным фотогальваническим эффектом (ФГЭ), является следствием асимметрии элементарных электронных процессов в кристалле без центра симметрии и играет важную роль при записи голограмм в таком широко известном сегнетоэлектрике как ниобат лития. Известно феноменологическое выражение для плотности фотогальванического тока³⁻⁵:

$$j_i = \beta_{inl}^s E_n E_l^* + i\beta_{il}^{as} [E E^*]_l,$$

где E_n, E_l – компоненты электрического поля световой волны, β_{inl}^s и β_{il}^{as} – компоненты соответственно симметричного тензора третьего ранга и псевдотензора второго ранга. Причем первое слагаемое в этом выражении максимально для линейной поляризации света и поэтому эта составляющая называется линейным фототоком, а второе слагаемое отлично от нуля только для циркулярно поляризованного света, и соответственно эта составляющая тока называется циркулярным фототоком. Микроскопические механизмы, приводящие к возникновению линейного и циркулярного токов, различны⁶ и в сегнетоэлектриках мало изучены. Компоненты тензора линейного ФГЭ были измерены во многих кристаллах без центра симметрии, в частности, в ниобате лития⁷. Что касается циркулярного тока, то он был обнаружен лишь в немногих кристаллах^{8, 9}, в которых он имеет постоянную в прост-

ранстве составляющую. В большинстве кристаллов циркулярная поляризация испытывает пространственные осцилляции с периодом $\Lambda = \lambda / (n_o - n_e)$ (λ – длина волны света, n_o и n_e – обычновенный и необыкновенный показатели преломления света), а соответственно с этим и циркулярный ток является пространственно-осциллирующим, и поэтому его трудно обнаружить прямыми измерениями⁶. Для обнаружения пространственно-осциллирующего фототока предлагалось измерять его в тонких пленках, в условиях сильного поглощения или с помощью периодической (с периодом Λ) системы электродов, для того чтобы среднее значение тока по толщине образца было отлично от нуля^{4, 10}. В фоторефрактивных кристаллах пространственно-осциллирующий фототок можно обнаружить косвенным образом по записи решеток волнами с ортогональной поляризацией¹¹, а циркулярный ток – по энергообмену между ними^{12, 13}. Однако такие методы сложно реализовать в эксперименте.

В настоящей работе предложен новый метод прямого обнаружения пространственно-осциллирующего фототока, и впервые с помощью этого метода обнаружен циркулярный фототок в ниобате лития.

Для ниобата лития компоненты фототока имеют вид:

$$\begin{aligned} j_x &= \beta_{22}^s (E_x E_y^* + E_x^* E_y) + \beta_{15}^s (E_x E_z^* + E_x^* E_z) + i\beta^{as} (E_z E_x^* - E_z^* E_x), \\ j_y &= \beta_{22}^s (E_x E_x^* - E_y E_y^*) + \beta_{15}^s (E_y E_z^* + E_y^* E_z) - i\beta^{as} (E_y E_z^* - E_y^* E_z), \\ j_z &= \beta_{31}^s E_x E_x^* + \beta_{31}^s E_y E_y^* + \beta_{33}^s E_z E_z^*. \end{aligned}$$

Отсюда видно, что циркулярный фототок течет в направлении, перпендикулярном оптической оси Z , и определяется одной независимой компонентой⁶. В этом же направлении течет линейный фототок, определяемый компонентами тензора β_{22}^s и β_{15}^s . Причем, как циркулярный ток, так и линейный фототок, связанный с компонентой тензора β_{15}^s , являются пространственно-осциллирующими. Рассмотрим ток, который течет вдоль оси X кристалла при распространении света вдоль оси Y :

$$j_x = \beta_{15}^s E_x^0 E_z^0 \cos(Ky + \Delta\varphi) + \beta^{as} E_x^0 E_z^0 \sin(Ky + \Delta\varphi),$$

где $E_x^0 = E_x \exp(-ikn_0 y)$, $E_z^0 = E_z \exp(-ikn_e y)$, $K = 2\pi/\Lambda$, $k = 2\pi/\lambda$, $\Delta\varphi$ – начальный сдвиг фаз между компонентами поля E_x и E_z , $\Lambda \approx 5$ мкм на длине волны $\lambda \approx 0,5$ мкм.

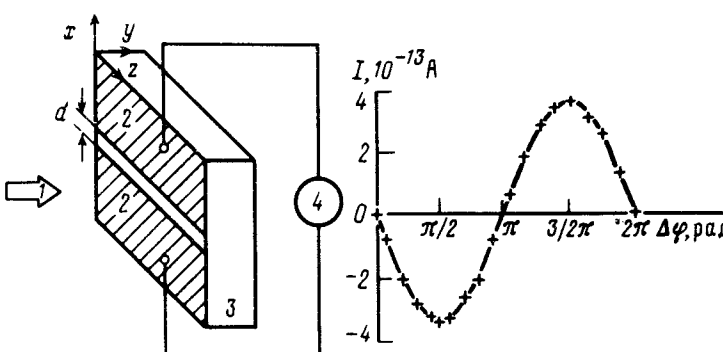


Рис. 1

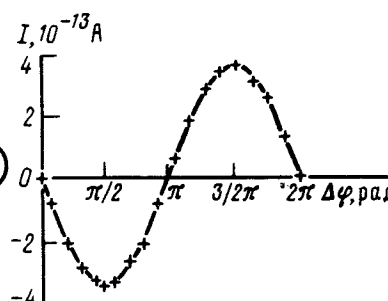


Рис. 2

Рис. 1. Схема измерения пространственно-осциллирующего фототока: 1 – свет, 2 – электроды, 3 – подложка кристалла, 4 – амперметр

Рис. 2. Зависимость силы тока I от сдвига фаз $\Delta\varphi$

Для обнаружения пространственно-осциллирующих фототоков предлагается использовать электроды, расположенные на поверхности кристалла, перпендикулярной направлению распространения света (рис. 1). При однородном освещении всего пространства между электродами в короткозамкнутой цепи будет протекать фототок, определяемый тонкой приповерхностной областью кристалла с толщиной $h \ll \Lambda$. Таким образом, пространственные осцилляции фототока не будут влиять на знак и величину измеряемого тока, которые будут

определяться состоянием поляризации падающего на кристалл излучения. Поскольку полный ток I при заданной мощности света P обратно пропорционален ширине зазора между электродами d :

$$I \sim \beta P h / d$$

то для увеличения силы тока (т. е. для повышения чувствительности метода) необходимо уменьшать ширину зазора.

Экспериментальные исследования проводились на образцах кристалла ниобата лития, отожженных в атмосфере воздуха при температуре 960°C в течение 6 часов и не имевших заметного поглощения в видимом диапазоне. На полированной поверхности Y -среза ниобата лития фотолитографическим методом изготавливались пары алюминиевых электродов с шириной зазора между ними равной 10 мкм для измерения фотогальванического тока j_x , который течет в направлении параллельном оси X . Излучение аргонового лазера с длиной волны равной $\lambda = 0,4765$ мкм и с мощностью ~ 13 мВт фокусировалось на зазор с помощью объектива $8\times$. Степень циркулярной поляризации света изменялась объемным электрооптическим модулятором с полуволновым напряжением равным 440 В. В отсутствие напряжения на модуляторе излучение имело линейную поляризацию, повернутую на угол, равный 45° , относительно оптических осей модулятора и кристалла. Фотогальванический ток в режиме короткозамкнутых электродов измерялся с помощью электрометра ЭД-05М. На рис. 2 приведена полученная зависимость тока от сдвига фаз между компонентами поля излучения по осям X и Z (E_x и E_z). Эта зависимость имеет синусоидальный вид и на ней отчетливо видны экстремальные значения фотогальванического тока при сдвигах фаз, равных $\pi/2$, $3/2\pi$ т. е. при круговой поляризации света, что свидетельствует о прямом обнаружении циркулярного тока в ниобате лития. Из этой зависимости также следует, что максимальный линейный фототок, определяемый компонентой тензора β_{15}^s , который течет в кристалле при сдвигах фаз, равных 0 , π , 2π , по крайней мере, на порядок меньше максимального циркулярного тока. Следовательно можно сделать вывод, что $\beta_{15}^{as} \gg \beta_{15}^s$.

Авторы выражают благодарность А.А.Зленко и Е.А.Щербакову за помощь в работе.

Литература

1. Glass A.M., Von der Linde D., Negran T.I. Appl. Phys. Lett., 1974, **25**, 233.
2. Fridkin V.M., Grekov A.A., Ionov P.V., Rodin A.I., Savchenko E.A., Verkhovshaya K.A. Ferroelectrics, 1974, **8**, 433.
3. Белиничер В.И., Малиновский В.К., Стурман Б.И. ЖЭТФ, 1977, **73**, 692.
4. Belinicher V.I. Phys. Lett., 1978, **66 A**, 213.
5. Ивченко Е.Л., Пикус Г.Е. Кн. "Проблемы совр. физики", Л.: Наука, 1980.
6. Белиничер В.И., Стурман Б.И. УФН, 1980, **130**, 415.
7. Festl H.G., Hertel P., Kratzig E., Von Baltz R. Phys. Stat. Sol. (b), 1982, **113**, 157.
8. Асин В.М., Бакун А.А., Данишевский А.М., Ивченко Е.Л., Пикус Г.Е., Рогачев А.А. Письма в ЖЭТФ, 1978, **28**, 80.
9. Леманов В.В., Есаян С.Х., Максимов А.Ю., Габриэлян В.Г. Письма в ЖЭТФ, 1981, **34**, 444.
10. Fridkin V.M., Rodin A.I. Phys. Stat. Sol. (a), 1980, **61**, 123.
11. Одулов С.Г. Письма в ЖЭТФ, 1982, **35**, 10.
12. Стурман Б.И. Квантовая электроника, 1980, **7**, 483.
13. Золотов Е.М., Казанский П.Г., Черных В.А. Письма в ЖТФ, 1981, **7**, 924.